

# Regolatori PID digitali

Gianmaria De Tommasi<sup>1</sup>

<sup>1</sup>Università degli Studi di Napoli Federico II  
detommas@unina.it

Ottobre 2012

**Corsi AnsaldoBreda**

# Outline

1 Discretizzazione del PID

2 Pseudocodice di un regolatore PID

## Discretizzazione di un controllore tempo-continuo

Data la frequenza di campionamento  $f_s = \frac{1}{h}$ , un'approssimazione tempo tempo-discreto del regolatore tempo-continuo  $R_c(s)$  è data da

$$R_d(z) = R_c \left( \frac{1}{h} \cdot \frac{z - 1}{\alpha z + 1 - \alpha} \right).$$

dove

**Eulero in avanti** ( $\alpha = 0$ )

$$s = \frac{z - 1}{h}$$

**Eulero all'indietro** ( $\alpha = 1$ )

$$s = \frac{z - 1}{hz}$$

**Tustin** ( $\alpha = 0.5$ )

$$s = \frac{2(z - 1)}{h(z + 1)}$$

## PID tempo-continuo

La f.d.t. di un regolatore PID tempo-continuo *reale* è

$$R(s) = K_P + \frac{K_P}{T_I s} + \frac{K_P T_D s}{1 + s \frac{T_D}{N}}$$

## PID tempo-continuo

La f.d.t. di un regolatore PID tempo-continuo *reale* è

$$R(s) = K_P + \frac{K_P}{T_I s} + \frac{K_P T_D s}{1 + s \frac{T_D}{N}}$$

### Azione proporzionale

$$P(s) = K_P E(s)$$

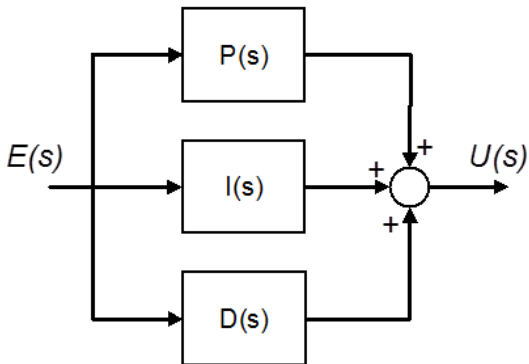
### Azione integrale

$$I(s) = \frac{K_P}{T_I s} E(s)$$

### Azione derivativa

$$D(s) = \frac{K_P T_D s}{1 + s \frac{T_D}{N}} E(s)$$

# PID - Schema a blocchi



## Discretizzazione dell'azione proporzionale

- L'azione proporzionale è puramente algebrica → la sua discretizzazione non comporta nessuna approssimazione
- Se  $p_k$  è il contributo dell'azione proporzionale all'istante  $t = kh$ , allora

$$p_k = K_P e_k = K_P (r_k - y_k)$$

## Discretizzazione dell'azione proporzionale

- L'azione proporzionale è puramente algebrica  $\rightarrow$  la sua discretizzazione non comporta nessuna approssimazione
- Se  $p_k$  è il contributo dell'azione proporzionale all'istante  $t = kh$ , allora

$$p_k = K_P e_k = K_P (r_k - y_k)$$

- Nel caso di regolatore **PID ISA** si deve portare in conto anche il parametro  $b$

$$p_k^{ISA} = K_P (br_k - y_k)$$



## Discretizzazione dell'azione integrale

- Tipicamente l'azione integrale  $i_k$  viene discretizzata utilizzando il metodo di **Eulero all'indietro**, con la quale si ottiene

$$i_k = i_{k-1} + \frac{K_P h}{T_I} e_k$$

## Discretizzazione dell'azione integrale

- Tipicamente l'azione integrale  $i_k$  viene discretizzata utilizzando il metodo di **Eulero all'indietro**, con la quale si ottiene

$$i_k = i_{k-1} + \frac{K_P h}{T_I} e_k$$

- Se si utilizzasse **Eulero in avanti**, l'algoritmo di controllo dovrebbe memorizzare anche il campione dell'errore all'istante  $t = (k - 1)h$ , infatti si avrebbe

$$i_k = i_{k-1} + \frac{K_P h}{T_I} e_{k-1}$$

## Discretizzazione dell'azione integrale

- Tipicamente l'azione integrale  $i_k$  viene discretizzata utilizzando il metodo di **Eulero all'indietro**, con la quale si ottiene

$$i_k = i_{k-1} + \frac{K_P h}{T_I} e_k$$

- Se si utilizzasse **Eulero in avanti**, l'algoritmo di controllo dovrebbe memorizzare anche il campione dell'errore all'istante  $t = (k - 1)h$ , infatti si avrebbe

$$i_k = i_{k-1} + \frac{K_P h}{T_I} e_{k-1}$$

- Una considerazione analoga vale anche se l'azione integrale venisse discretizzata utilizzando il **metodo di Tustin**

## Discretizzazione dell'azione derivativa - 1

- Anche per l'azione derivativa  $d_k$  si preferisce utilizzare il metodo di **Eulero all'indietro**, ottenendo

$$d_k = \frac{T_D}{Nh + T_D} d_{k-1} + \frac{K_P T_D N}{Nh + T_D} (e_k - e_{k-1})$$

## Discretizzazione dell'azione derivativa - 1

- Anche per l'azione derivativa  $d_k$  si preferisce utilizzare il metodo di **Eulero all'indietro**, ottenendo

$$d_k = \frac{T_D}{Nh + T_D} d_{k-1} + \frac{K_P T_D N}{Nh + T_D} (e_k - e_{k-1})$$

- Nel caso di regolatore **PID ISA**, bisogna considerare anche il parametro  $c$

$$d_k^{ISA} = \frac{T_D}{Nh + T_D} d_{k-1} + \frac{K_P T_D N}{Nh + T_D} (c(r_k - r_{k-1}) + y_{k-1} - y_k)$$

## Discretizzazione dell'azione derivativa - 1

- Anche per l'azione derivativa  $d_k$  si preferisce utilizzare il metodo di **Eulero all'indietro**, ottenendo

$$d_k = \frac{T_D}{Nh + T_D} d_{k-1} + \frac{K_P T_D N}{Nh + T_D} (e_k - e_{k-1})$$

- Nel caso di regolatore **PID ISA**, bisogna considerare anche il parametro  $c$

$$d_k^{ISA} = \frac{T_D}{Nh + T_D} d_{k-1} + \frac{K_P T_D N}{Nh + T_D} (c(r_k - r_{k-1}) + y_{k-1} - y_k)$$

- Tipicamente  $c = 0$  per limitare l'azione derivativa → **non c'è la necessità di memorizzare  $e_{k-1}$  anche se l'azione integrale viene discretizzata con Eulero all'indietro**

## Discretizzazione dell'azione derivativa - 2

Se, per discretizzare l'azione derivativa, si utilizzasse

- **Eulero in avanti** → per valori sufficientemente piccoli di  $T_D$  si avrebbe una legge di controllo instabile
- **Tustin** → quando  $T_D = 0$  il controllore presenterebbe un polo in  $-1$ , associato ad un modo alternante, che è preferibile evitare perché causa di **ringing dell'azione di controllo** (oscillazione dei campioni di controllo alla frequenza di campionamento)

## Considerazioni preliminari

- Il codice che implementa un regolatore PID dovrà essere eseguito in modalità periodica dal dispositivo di controllo



## Considerazioni preliminari

- Il codice che implementa un regolatore PID dovrà essere eseguito in modalità periodica dal dispositivo di controllo
- Il periodo di esecuzione deve essere pari a  $h = \frac{1}{f_s}$

## Considerazioni preliminari

- Il codice che implementa un regolatore PID dovrà essere eseguito in modalità periodica dal dispositivo di controllo
- Il periodo di esecuzione deve essere pari a  $h = \frac{1}{f_s}$
- Prima di entrare nella modalità di esecuzione periodica è possibile calcolare alcune costanti, con l'obiettivo di ridurre il numero di operazioni da effettuare in real-time, e quindi per ridurre il ritardo tra l'istante in cui viene campionata l'uscita  $y_k$  e l'istante in cui viene generata la corrispondente azione di controllo  $u_k$

## Definizione delle costanti

- Si supponga di aver definito le seguenti costanti nella fase di inizializzazione del codice

```
GP = KP*b;
```

```
GI = KP*h/TI;
```

```
GD1 = TD / (N*h+TD) ;
```

```
GD2 = KP*N*GD1;
```

```
GD3 = c*GD2;
```

- e di inizializzare le variabili seguenti

```
d = 0;
```

```
i = 0;
```

```
r_old = 0;
```

```
y_old = 0;
```

## Pseudocodice - 1

- 1 Attesa attivazione (clock interrupt o chiamata dal s.o.)
- 2 Acquisizione A/D di  $r$  e  $y$
- 3  $e = r - y$  % Calcolo dell'errore
- 4  $p = GP * r - Kp * y$ ; % Azione proporzionale
- 5  $d = GD1 * d + GD2 * (y_{old} - y) + GD3 * (r_{old} - r)$  % Azione derivativa
- 6 **if** MANUALE **then** % Modalità manuale
- 7  $u = u + \text{delta}_u$ ; % Uscita manuale
- 8  $i = u - d - p$  % Bumpless
- 9 **else** % Modalità automatica
- 10  $i = i + GI * e$  % Azione integrale
- 11  $u = p + i + d$  % Uscita complessiva
- 12 **endif**

## Pseudocodice - 2

```
13 if u>u_max then % Anti wind-up - Saturazione
    superiore
14 u = u_max
15 i = u-p-d
16 elseif u<u_min then % Anti wind-up - Saturazione
    inferiore
17 u = u_min
18 i = u-p-d
19 endif
20 Emissione di u e conversione D/A
21 r_old = r
22 y_old = y
```

## Problemi numerici

Si possono verificare diversi problemi numerici. Le principali cause sono

- la quantizzazione dei parametri e delle variabili di ingresso e uscita
- gli arrotondamenti
- l'undeflow e l'overflow del processore

## Problemi numerici

Si possono verificare diversi problemi numerici. Le principali cause sono

- la quantizzazione dei parametri e delle variabili di ingresso e uscita
- gli arrotondamenti
- l'undeflow e l'overflow del processore

In particolare

- a causa della rappresentazione quantizzata e del verificarsi di underflow, l'errore a regime in presenza di riferimento costante è diverso da zero anche in presenza di azione integrale
- **in presenza di azione integrale, l'errore a regime sarà tanto più grande quanto più piccolo sarà  $h$  (quindi al crescere della frequenza di campionamento  $f_s$ )**

## Scelta della frequenza di campionamento - 1

- La frequenza di campionamento è limitata verso il basso dal **teorema di Shannon** e dalla banda desiderata a ciclo chiuso. In particolare, se  $f_s = 1/h$  è la frequenza di campionamento e  $f_{BW}$  è la banda del sistema controllato, deve essere

$$f_s > 2f_{BW}$$



## Scelta della frequenza di campionamento - 1

- La frequenza di campionamento è limitata verso il basso dal **teorema di Shannon** e dalla banda desiderata a ciclo chiuso. In particolare, se  $f_s = 1/h$  è la frequenza di campionamento e  $f_{BW}$  è la banda del sistema controllato, deve essere

$$f_s > 2f_{BW}$$

- Il limite inferiore dato dal teorema di Shannon è solo teorico. Nella pratica si sceglie

$$f_s > 10f_{BW}$$

## Scelta della frequenza di campionamento - 1

- La frequenza di campionamento è limitata verso il basso dal **teorema di Shannon** e dalla banda desiderata a ciclo chiuso. In particolare, se  $f_s = 1/h$  è la frequenza di campionamento e  $f_{BW}$  è la banda del sistema controllato, deve essere

$$f_s > 2f_{BW}$$

- Il limite inferiore dato dal teorema di Shannon è solo teorico. Nella pratica si sceglie

$$f_s > 10f_{BW}$$

- Per motivi legati ai filtro anti-aliasing il limite inferiore cresce ancora, tipicamente si sceglie

$$f_s > 200f_{BW}$$

## Scelta della frequenza di campionamento - 2

Esiste anche una **limitazione verso l'alto per  $f_s$** , sia per problemi legati ai costi realizzativi, sia per **rendere contenuto l'errore a regime dovuto alla realizzazione digitale dell'azione integrale**

## Bibliografia



G. Magnani, G. Ferretti, P. Rocco,  
*Tecnologie dei Sistemi di Controllo*  
McGraw-Hill, 2007